

И Н С Т И Т У Т
ЯДЕРНОЙ ФИЗИКИ СОАН СССР

И Я Ф 61 - 72

В.Н.Байер, В.М.Катков, В.М.Страховенко

ИЗЛУЧЕНИЕ РЕЛЯТИВИСТСКИХ ЧАСТИЦ
В ПЕРИОДИЧЕСКИХ СТРУКТУРАХ

Новосибирск

1972

В.Н.Байер, В.М.Катков, В.М.Страховенко

ИЗЛУЧЕНИЕ РЕЛЯТИВИСТСКИХ ЧАСТИЦ В ПЕРИОДИЧЕСКИХ СТРУКТУРАХ

А Н Н О Т А Ц И Я

Рассмотрен процесс излучения при движении релятивистского электрона в периодическом внешнем электромагнитном поле. Получены поляризационные, спектральные и угловые характеристики излучения. Рассмотрена область, в которой существенны квантовые эффекты. Показано, что предложенный ранее авторами операторный квазиклассический метод применим и в случае сильно неоднородных полей.

Проводится обсуждение возможных экспериментов.

1. Введение

В связи с возможными применениями магнитотормозного излучения в последнее время возрос интерес к излучению релятивистских частиц в периодических электромагнитных структурах, имеемых часто ондуляторами. Свойства излучения в таких структурах в основном такие же как при излучении релятивистских частиц в поле плоской электромагнитной волны, которая может рассматриваться как определенный тип ондулятора.

Частицы высокой энергии^{x)} ($\gamma = \frac{1}{\sqrt{1-v^2}} \gg 1$) излучают главным образом вперед в малый угол $\sim 1/\gamma$, характеристики излучения существенно зависят от соотношения между углом отклонения (поворота) Ψ частицы в поле и углом $1/\gamma$. В случае (I)

$\Psi \gg 1/\gamma$ излучение формируется на длине когерентности^{xx)} ℓ_m
 $(\ell_m \approx \frac{R}{\gamma} = \frac{m}{eH} = \frac{1.7 \cdot 10^3 \text{ см}}{H \text{ (эрс)}})$ и имеет универсаль-

ный характер (см., например, /1,2/), причем максимум спектрального распределения интенсивности излучения лежит в области

$\omega \sim 1/\ell_m \gamma^3$. В этом случае излучение в ондуляторе формируется внутри каждого элемента периодичности, а полная интенсивность излучения есть некогерентная сумма интенсивностей излучения в каждом элементе периодичности. В обратном случае (II) $\Psi \ll 1/\gamma$

излучение существенно зависит от деталей структуры внешнего поля. Однако и в этом случае свойства излучения в периодических структурах являются в основной части универсальными, существенна когерентность излучения в разных элементах структуры, максимум спектрального распределения интенсивности смещается (в заданном поле) в сторону больших частот в ℓ_m/ℓ раз (ℓ - длина периода ондулятора), причем излучается в основном одна гармоника (или несколько низших гармоник) соответствующая частоте периодической структуры. Именно эта специфика делает случай II особенно интересным.

x) Используется система единиц С=1, метрика $ab = a_0 b_0 - \hat{a} \hat{b}$

xx) Длина когерентности зависит от частоты, здесь она приведена для частоты в максимуме спектрального распределения.

Различные аспекты использования периодических электромагнитных структур (ондуляторов) многократно обсуждались в литературе: генерация микрорадиоволн [3], рассеяние света на свете [4], измерение энергии релятивистских частиц (см., например, [5] и цитированную там литературу).

В данной работе определены поляризационные и спектральные характеристики излучения релятивистских частиц в произвольном ондуляторе^{x)} в случае II (когда $\Psi \ll 1/\gamma$, т.е. длина периода много меньше длины когерентности в соответствующем поле). Рассмотрена как классическая задача излучения в ситуации, когда квантовые поправки малы, так и излучение в существенно квантовой области, которая в этом случае ближе к реальным возможностям эксперимента, чем в случае I.

II. Излучение в классической области

Рассмотрим излучение в бесконечном ондуляторе, в котором движение является квазипериодическим (под этим мы будем понимать движение, являющееся периодическим в системе, где частица в среднем поконится (см.рис.1). Анализ задачи удобно проводить используя Фурье-компоненту скорости

$$\begin{aligned} \vec{U}_\omega &= \int_{-\infty}^{\infty} \vec{v}(t) e^{i(\omega t - \vec{K} \vec{r})} dt = \\ &= \sum_{n=-\infty}^{\infty} \int_0^T \vec{v}(t) e^{iKx} e^{i\Phi_n} dt = \vec{U}_\omega^T \sum_{n=-\infty}^{\infty} e^{in\Phi_0} \end{aligned} \quad (1)$$

где $\Phi_0 = \omega T - \vec{K} \vec{r} = \omega T (1 - \vec{n} \vec{v}) = \vec{\omega} T$

- *) После того, как настоящая работа была закончена, нам стала известна работа [8], в которой найдено спектральное распределение интенсивности в классической задаче излучения для некоторых моделей периодической структуры в случае II.
- **) В этих же терминах проводится рассмотрение в квантовой области.

\vec{U} - средняя скорость частицы, $\vec{T} = \vec{U}T$ - длина периода структуры, $\tilde{\omega} = \omega(1 - \frac{1}{\gamma})$. Учитывая, что

$$\sum_{n=-\infty}^{\infty} e^{in\varphi_0} = 2\pi \sum_{k=-\infty}^{\infty} \delta(\varphi_0 - 2\pi k) \quad (2)$$

имеем

$$\vec{U}_{\tilde{\omega}} = \vec{U}^T \cdot 2\pi \sum_{k=-\infty}^{\infty} \delta(\varphi_0 - 2\pi k) \quad (3)$$

переход от (1) к (3) соответствует переходу от интеграла к ряду Фурье.

Как уже отмечалось, свойства излучения существенно зависят от соотношения между углом отклонения частицы на длине периода и углом $1/\gamma$. В случае I, когда $\Psi = \vec{U}T = \Delta U \gg 1/\gamma$, из формулы (1) следует, что излучаются в основном частоты

$\omega \sim \frac{\dot{U}\gamma}{1-\frac{1}{\gamma}}$ тогда $\varphi_0 \gg 1$. В случае II, когда $\Psi = \vec{U}T = \Delta U \ll 1/\gamma$ соответственно излучаются в основном частоты $\omega \sim \frac{1}{T(1-\frac{1}{\gamma})}$, тогда $\varphi_0 \lesssim 1$.

В случае I в области основных частот фаза φ_0 велика, тогда

$$2\pi \sum_k \delta(\varphi_0 - 2\pi k) \rightarrow 2\pi \int dk \delta(\varphi_0 - 2\pi k) = 1 \quad (4)$$

так что излучение на каждом элементе периодической структуры является независимым, а интенсивность излучения в данном направлении может быть получена в результате сложения интенсивностей на каждой длине излучения (см. 1,2/). Отметим, однако, что и в случае I для частот $\omega \lesssim \gamma^2/T$ длина когерентности сравнима с периодом структуры, так что при излучении этих частот следует учитывать когерентность.

В случае II ($\Delta U \ll 1/\gamma$) излучение формируется на многих элементах периодической структуры и в области основных частот всегда существует когерентность. В этом случае удобно преобразовать $\vec{U}_{\mu\tilde{\omega}}^T$ к виду:

$$\vec{U}_{\mu\tilde{\omega}}^T = \frac{i}{KU} \cdot (\vec{U}_{\mu\tilde{\omega}}^T(ku) - \vec{U}_\mu(k\vec{U}_{\tilde{\omega}}^T)) \quad (5)$$

где $KU = \tilde{\omega} = \omega(1 - \vec{n}\vec{v})$

$$\dot{\tilde{U}}_{\mu\tilde{\omega}}^T = \int_0^T \dot{U}_\mu(t) e^{i\tilde{\omega}t} dt \quad (6)$$

причем скорость \vec{v} рассматривается как постоянная величина. С учетом (5) общее выражение для интенсивности излучения релятивистской частицы в бесконечном ондуляторе имеет вид^{x)}

$$dI = \frac{e^2}{4\pi} \cdot \frac{d^3K}{2\pi T} \cdot \frac{\omega^2}{\tilde{\omega}^4} |(\vec{e}^* \dot{\tilde{U}}_{\tilde{\omega}}^T)(1 - \vec{n}\vec{v}) + (\vec{e}^* \vec{v})(\vec{n}\dot{\tilde{U}}_{\tilde{\omega}}^T)|^2 \sum_{k=1}^{\infty} \delta(\varphi_0 - 2\pi k) \quad (7)$$

При фиксированном векторе \vec{n} формула (7) представляет собой сумму гармоник.

Просуммировав по поляризациям излученного фотона найдем (пренебрегая членами $\sim 1/\gamma$)

$$\langle dI \rangle_{\vec{n}\omega} = \frac{e^2}{4\pi} \cdot \frac{d^3K}{2\pi T} \cdot \frac{\omega^2}{\tilde{\omega}^4} |\dot{\tilde{U}}_{\tilde{\omega}}^T|^2 \cdot \frac{1}{2\gamma^4} \left\{ 2y^2 + (1-2y)[1 + \cos 2(\beta - \varphi_1) - \right. \\ \left. - 2\sin^2 \frac{\varphi}{2} \cdot \sin 2\beta \cdot \sin 2\varphi_1] \right\} \cdot \sum_{k=1}^{\infty} \delta(\varphi_0 - 2\pi k) \quad (8)$$

где $y = \gamma^2(1 - \vec{n}\vec{v}) = \gamma^2 \tilde{\omega}/\omega$; Фурье-компоненты ускорения $\dot{\tilde{U}}_{\tilde{\omega}}^T$ разложена по двум взаимно перпендикулярным ортам в плоскости ортогональной к вектору \vec{v} :

$$\dot{\tilde{U}}_{\tilde{\omega}}^T = |\dot{\tilde{U}}_{\tilde{\omega}}^T| \cdot e^{i\delta} (\vec{l}_1 \cos \beta + \vec{l}_2 \sin \beta \cdot e^{i\varphi}) \quad (9)$$

$\vec{n}\vec{v} = U \cos \vartheta, \vec{n}\vec{l}_1 = \sin \vartheta \cos \varphi_1$. После интегрирования по азимутальному углу вылета получим

$$\langle dI \rangle_{y\omega} = \frac{e^2}{4\pi} \cdot \frac{2}{T} \cdot \frac{d\omega}{\omega^2} \cdot \frac{dy}{y^4} |\dot{\tilde{U}}_{\tilde{\omega}}^T|^2 y^6 F(1-2y+2y^2) \sum_{k=1}^{\infty} \delta\left(\frac{\omega y^T}{y^2} - 2\pi k\right) \quad (10)$$

где введена величина

$$F = |\dot{\tilde{U}}_{\tilde{\omega}}^T|^2 \tilde{\omega}^2 / 4 |\dot{\tilde{U}}_{\tilde{\omega}}^T|^2 \quad (11)$$

^{x)} Используется хэвисайдова система единиц.

зависящая только от структуры поля. Формула (10) следует из приведенной в /1/ (стр.278) для случая квазипериодического движения (3). Проинтегрировав (10) по частоте получаем угловое распределение излучения

$$\langle dI \rangle_y = \frac{e^2}{4\pi} |\vec{v}|^2 y^4 \frac{dy}{2y^5} (1 - 2y + 2y^2) \frac{1}{\pi^2} \sum_{k=1}^{\infty} \frac{F(\Psi_0 = 2\pi k)}{k^2} \quad (12)$$

Наконец, проинтегрировав по y имеем для полной интенсивности

$$\langle I \rangle = \frac{e^2}{4\pi} \cdot \frac{4}{3} |\vec{v}|^2 y^4 \cdot \frac{1}{\pi^2} \sum_{k=1}^{\infty} \frac{F(\Psi_0 = 2\pi k)}{k^2} \quad (13)$$

При любой структуре поля

$$\frac{1}{\pi^2} \sum_{k=1}^{\infty} \frac{F(\Psi_0 = 2\pi k)}{k^2} = \frac{1}{2} \quad (14)$$

так что полная интенсивность излучения дается известным выражением $\langle I \rangle = \frac{e^2}{4\pi} \cdot \frac{2}{3} |\vec{v}|^2 y^4$

Из выражения (7) могут быть найдены также поляризационные характеристики излучения. Введем орты

$$\vec{e}_1 = \frac{[\vec{n} \vec{v}]}{|\vec{n} \vec{v}|} ; \quad \vec{e}_2 = \frac{[\vec{n} [\vec{n} \vec{v}]]}{|[\vec{n} [\vec{n} \vec{v}]]|} ; \quad (15)$$

тогда поляризационные свойства излучения описываются матрицей

$$dI_{ik} = \frac{\langle dI \rangle}{2} \left(\delta_{ik} + \sum_{n=1}^3 \xi_n \sigma_{ik}^n \right) \quad (16)$$

где σ^n матрицы Паули ξ_n — параметры Стокса:

$$\xi_n = \frac{\alpha_n}{c} ; \quad n = 1, 2, 3 \quad (17)$$

(это означает, что ξ_1 и ξ_2 относятся к поперечной, а ξ_3 — к продольной компонентам вектора скорости, что соответствует тому, что вектор скорости волны имеет компоненту вдоль оси k и две поперечные компоненты, перпендикулярные k .)

где

$$a_1 = 2 \left[\sin 2(\varphi_1 - \beta) + 2 \sin 2\beta \cdot \cos 2\varphi_1 \cdot \sin^2 \frac{\varphi}{2} \right] \cdot y(1-y)$$

$$a_2 = 2 \sin 2\beta \cdot \sin \varphi \cdot y(1-y)$$

(18)

$$a_3 = -[\cos 2(\varphi_1 - \beta) - 2 \sin 2\beta \cdot \sin 2\varphi_1 \cdot \sin^2 \frac{\varphi}{2}] (1-2y+2y^2) - (1-2y)$$

$$C = 2y^2 + (1-2y)[1 + \cos 2(\varphi_1 - \beta) - 2 \sin 2\beta \cdot \sin 2\varphi_1 \cdot \sin^2 \frac{\varphi}{2}]$$

Излучение при заданных \vec{H} , ω является полностью поляризованным (вообще говоря эллиптически), т.е. параметры Стокса удовлетворяют соотношению $\xi_1^2 + \xi_2^2 + \xi_3^2 = 1$, в чем можно убедиться прямым вычислением.

Представляют интерес также поляризационные свойства излучения, когда по ряду переменных проведено интегрирование. После интегрирования по частоте и азимутальному углу вылета фотона имеем

$$\xi_1 = 0, \quad \xi_2 = \frac{S \cdot 2y(1-y)}{1-2y+2y^2}, \quad \xi_3 = \frac{2y-1}{1-2y+2y^2} \quad (19)$$

где учтено равенство (14) и

$$S = \frac{2}{\pi^2} \sum_{k=1}^{\infty} \frac{F \cdot \sin 2\beta \cdot \sin \varphi}{k^2} \Big|_{\varphi_0 = 2\pi k} \quad (20)$$

Наконец, проинтегрировав по полярному углу излучения, найдем поляризационные свойства излучения в целом:

$$\xi_1 = 0, \quad \xi_2 = \frac{S}{2}, \quad \xi_3 = \frac{1}{2} \quad (21)$$

Таким образом, излучение в ондуляторе в случае П является частично поляризованным, причем степень линейной поляризации (ξ_3) является универсальной и не зависит от структуры поля, а степень циркулярной поляризации в существенной степени определяется этой структурой.

Для иллюстрации рассмотрим два конкретных примера, когда периодическая структура состоит из участков с однородным магнитным полем разного направления, причем угол поворота частицы в поле данного направления $\Psi = \frac{\pi}{2} \ll 1/\gamma$, ось \vec{z} направлена по \vec{U} , ось X - по \vec{e}_1 , ось Y - по \vec{e}_2 .

$$A) H_y = H \quad 0 < z < l/2$$

$$H_y = -H \quad \frac{l}{2} < z < l$$

$$H_x = H_z = 0$$

В этом случае

$$F_A(\Psi_0 = 2\pi k) = 4 \sin^4 \frac{\pi k}{2}, \quad S = 0 \quad (23)$$

Подставляя F_A в (10) - (13) получаем спектр излученных фотонов. На рис.2 приведен график функции $\frac{2}{\langle I \rangle} \frac{\langle dI \rangle_A}{d\xi}$, $\xi = \omega/\omega_c$, $\omega_c = \frac{4\pi g^2}{T}$

Излучение частично линейно поляризовано ($| \vec{\xi} | = \frac{1}{2}$) под углом $\pi/4$ к направлению ускорения (см.(21)), а циркулярная поляризация в этом случае отсутствует. Однако она может быть получена в магнитном поле более сложной конфигурации:

$$B) H_y = -H, \quad 0 < z < \frac{l}{8}, \quad \frac{5}{8}l < z < \frac{3}{4}l$$

$$H_y = H, \quad \frac{l}{8} < z < \frac{l}{4}, \quad \frac{l}{2} < z < \frac{5}{8}l \quad (24)$$

$$H_x = -H, \quad \frac{l}{4} < z < \frac{3}{3}l, \quad \frac{7}{8}l < z < l$$

$$H_x = H, \quad \frac{3}{8}l < z < \frac{l}{2}, \quad \frac{3}{4}l < z < \frac{7}{8}l$$

В этом случае

$$F_B(\Psi_0 = 2\pi k) = 32 \sin^2 \frac{\pi k}{2} \cdot \sin^4 \frac{\pi k}{8}$$

$$S = -\frac{8}{\pi^2} [3\Psi - 4\Psi_1] \quad (25)$$

здесь $\Psi = \sum_{k=0}^{\infty} \frac{(-1)^k}{(2k+1)^2} = 0,916$ постоянная Каталана

$$\Psi_1 = \sum_{k=0}^{\infty} \frac{(-1)^k}{(2k+1)^2} \cdot \cos \left[\frac{(2k+1)\pi}{4} \right] = 0,753$$

Подставляя F_B в (10)-(13) найдем спектр излученных фотонов, приведенный на рис.3 (в тех же единицах, что и для случая А).

Излучение частично эллиптически поляризовано (см.(21)).

Мы рассматривали ондулятор бесконечной длины, можно показать, что для ондулятора с числом периодов N полученные выражения справедливы с точностью $\sim 1/N$.

Приступим к общему обсуждению. Периодические электромагнитные структуры (ондуляторы) позволяют получить направленные (в угол $\gtrsim 1/\gamma$) интенсивные пучки излучения от инфракрасной до рентгеновской области. Интенсивность излучения пропорциональна квадрату внешнего поля. Поэтому для получения высокой интенсивности желательно использовать большие напряженности поля. Но при $H = 10^4$ э длина излучения (для максимума спектрального распределения) составляет $\sim 0,2$ см. В таких полях при создании стационарной магнитной "решетки" практически можно реализовать только случай I (максимум промежуточный случай $\Psi \sim 1/\gamma$). Однако существенные отличия случая II - сдвиг максимума спектрального распределения, интенсивности в жесткую часть спектра, большая монохроматичность и возможность получения циркулярно поляризованного излучения проявляются в области $\Psi \ll 1/\gamma$. Одна реализация этой области возможна при использовании лазеров. Тогда можно получить рентгеновское излучение с использованием электронов не слишком высокой энергии. Возможная схема^{x)} для этого такая: электроны с энергией E движутся в накопителе радиуса R , в прямолинейном участке накопителя электроны попадают в лазерный резонатор, внутри которого создана область фокусировки длиной в несколько см эта область играет роль ондулятора. При $E = 25$ Мэв и $R = 25$ см ведущее поле накопителя $H = 3 \cdot 10^3$ гс, так что максимум спектра магнитотормозного излучения в накопителе лежит в инфракрасной области ($\hbar\omega \sim 0,05$ эв). Если использовать лазер с длиной волны 10 мк (на CO₂), то будут излучаться фотоны с энергией ~ 300 эв. Если напряженность лазерной волны в фокусе будет $H = 2 \cdot 10^4$ э, то энергия, теряемая на излучение в лазере, будет сравнима с потерями.

^{x)} Авторы благодарны А.Н.Скрипинскому за обсуждение этого вопроса.

ми за счет магнитотормозного излучения в накопителе.

Ш. Излучение в квантовой области

В работах [6,7] было показано, что наиболее адекватным подходом к задаче об излучении частицы высокой энергии во внешнем электромагнитном поле является формализм, использующий квазиклассическое приближение уже в исходных выражениях. В основе этого подхода лежит тот факт, что можно пренебречь некоммутативностью динамических переменных (члены $\hbar\omega_0/\epsilon$, ω_0 - частота обращения) и учитывать только их коммутаторы с полем излученного фотона, т.е. отдачу при излучении (члены $\sim \frac{\hbar\omega}{\epsilon}$). Развитый в этих работах операторный метод позволял, после проведения необходимых коммутаций и распутывания экспоненциальных выражений, переходить к величинам на классической траектории частицы. Следует отметить, что при проведении операции распутывания предполагалось, что длина формирования излучения много меньше характерной длины неоднородности поля. Как показывает проведенный в [27] анализ, такое ограничение не является необходимым, нужна только квазиклассичность движения $\hbar\omega_0/\epsilon \ll 1$, при этом операция распутывания с этой точностью приводит к следующему выражению:

$$e^{-ikx(t_2)} e^{ikx(t_1)} = T \exp \left\{ \frac{i}{\hbar} \int_{t_1}^{t_2} dt \left[\mathcal{H} - \hbar\omega - \sqrt{(\vec{P}(t) - \hbar\vec{k})^2 + m^2} \right] \right\} \quad (26)$$

где \mathcal{H} , \vec{P} - операторы энергии и импульса соответственно, T - оператор хронологического произведения.

Разлагая правую часть этого равенства по величине $(1 - \frac{\hbar\omega}{\epsilon}) \sim 1/\gamma^2$ и учитывая старшие члены разложения приходим к выражению по форме совпадающему с формулой (16) работы [6]

$$e^{-ikx(t_2)} e^{ikx(t_1)} = \exp \left\{ -i \frac{\mathcal{H}}{\mathcal{H} - \hbar\omega} [kx(t_2) - kx(t_1)] \right\} \quad (27)$$

здесь $K^2 = 0$.

Поскольку остальные коммутаторы тоже не связаны с видом поля, то формулы (16, 17, 18) работы [6] справедливы с квазиклассической точностью в произвольном внешнем поле, при условии, что его величина много меньше критической ($H \ll H_0 = \frac{m^2}{e\hbar}$).

Таким образом эти формулы справедливы в случае, когда длина неоднородности поля много меньше характерной длины формирования магнитотормозного излучения. Критерием квазиклассичности здесь является $\frac{\hbar\Omega}{\epsilon} = \frac{2\pi\hbar}{\tau_\epsilon} \ll 1$, т.е. частота квантов внешнего поля много меньше энергии электрона.

Поскольку энергия излучаемого кванта $\hbar\Omega\gamma^2 \sim \hbar\omega$, а классическая теория применима при $\hbar\omega \ll \epsilon$, квантовые эффекты излучения мы будем характеризовать параметром $\eta = \frac{4\pi k^2}{\tau_\epsilon}$. При $\eta \ll 1$ имеем классический случай, когда $\eta \gtrsim 1$ существенны квантовые эффекты в процессе излучения. Интенсивность излучения фотона с 4-импульсом K_μ имеет вид (см. 9, 17, 18) работы [6])

$$dI = \frac{e^2}{4\pi} \cdot \frac{d^3 K}{(2\pi)^2} \left| \int_{-\infty}^{\infty} dt \cdot R(t) \cdot \exp \left[\frac{i\epsilon \cdot Kx(t)}{\epsilon - \omega} \right] \right|^2 \quad (28)$$

где $R(t)$ по форме совпадает с матричным элементом перехода для свободных частиц с учетом законов сохранения и зависимости импульса от времени $p = p(t)$. Для скалярных частиц:

$$R(t) = \frac{\vec{e}^* \vec{p}(t)}{\sqrt{\epsilon(\epsilon - \omega)}} \quad (29)$$

Для спинорных частиц

$$\begin{aligned} R(t) &= \varphi_f^+ [A(t) + i\vec{e} \cdot \vec{B}(t)] \varphi_i \\ A(t) &= \frac{\vec{e}^* \vec{p}(t)}{2\sqrt{\epsilon(\epsilon - \omega)}} \cdot \left(\sqrt{\frac{\epsilon - \omega + m}{\epsilon + m}} + \sqrt{\frac{\epsilon + m}{\epsilon - \omega + m}} \right) \\ \vec{B}(t) &= \frac{1}{2\sqrt{\epsilon(\epsilon - \omega)}} \cdot \left(\sqrt{\frac{\epsilon - \omega + m}{\epsilon + m}} [\vec{e}^* \vec{p}(t)] - \sqrt{\frac{\epsilon + m}{\epsilon - \omega + m}} \cdot [\vec{e}^*, \vec{p}(t) - \vec{k}] \right) \end{aligned} \quad (30)$$

x) В дальнейшем $\hbar = 1$.

Выбрана поперечная калибровка поляризации фотона. Здесь нас как и в классической области будет интересовать случай Г1 движения и периодических структурах, когда длина неоднородности (период структуры) много меньше характерной длины магнитотормозного излучения $\Omega = \frac{2\pi}{T} \gg \frac{\delta}{R} = \frac{H}{H_0} \cdot m$.

В этом случае интенсивность излучения скалярными частицами получается, если умножить выражение (7), полученное в классической теории, на фактор $((\epsilon - \omega)/\epsilon)^3$, а также фазу $\varphi_0(\omega)$ заменить на фазу $\varphi'_0 = \varphi_0(\omega' = \omega \cdot \frac{\epsilon}{\epsilon - \omega})$.

По этой причине до интегрирования по частотам параметры Стокса при излучении скалярными частицами совпадают в классическом и квантовом случаях (см. (18)).

В случае спинорных частиц выражение для интенсивности просуммированное по спину конечного и усредненное по спину начального электрона имеет вид

$$dI = \frac{e^2}{4\pi} \cdot \frac{d^3 k}{2\pi T} \cdot \left(\frac{\epsilon - \omega}{\epsilon} \right)^3 \cdot \frac{\omega^2}{\omega^4} \cdot \left\{ \frac{(2\epsilon - \omega)^2}{4\epsilon(\epsilon - \omega)} |(\vec{e}^* \vec{v}_\omega^\tau)(1 - \vec{n}\vec{v}) + \right. \\ \left. + (\vec{e}^* \vec{v})(\vec{n}\vec{v}_\omega^\tau)|^2 + \frac{\omega^2}{4\epsilon(\epsilon - \omega)} [|\vec{v}_\omega^\tau|^2 (1 - \vec{n}\vec{v})^2 (\vec{e}^* \vec{e}) - \right. \\ \left. - |(\vec{e}^* \vec{v}_\omega^\tau)(1 - \vec{n}\vec{v}) + (\vec{e}^* \vec{v})(\vec{n}\vec{v}_\omega^\tau)|^2] \right\} \cdot \sum_{k=1}^{\infty} \delta(\varphi'_0 - 2\pi k) \quad (31)$$

Параметры Стокса для спинорных частиц в выбранных ранее осиях и обозначениях см. (15-17) равны

$$\xi_1^{(1)} = \frac{a_1}{c + \frac{\omega^2 y^2}{\epsilon(\epsilon - \omega)}}, \quad \xi_2^{(1)} = \frac{1 + \frac{\omega^2}{2\epsilon(\epsilon - \omega)}}{c + \frac{\omega^2 y^2}{\epsilon(\epsilon - \omega)}}, \quad \xi_3^{(1)} = \frac{a_3}{c + \frac{\omega^2 y^2}{\epsilon(\epsilon - \omega)}} \quad (32)$$

Проводя суммирование по поляризации фотона и интегрируя по азимутальному углу его вылета (фактор 2π) получаем:

$$dI^{(0,\frac{1}{2})} = \sum_{k=1}^{\infty} F \cdot \frac{e^2 m^2 \eta^2 \chi^2 du dy}{16\pi^3 y^6 u^2 (1+u)^3} \cdot (y^2 f^{(0,\frac{1}{2})}(u) + \frac{1}{2} - y) \cdot \delta(uy - \frac{\eta k}{2}) \quad (33)$$

здесь введены следующие обозначения

$$u = \frac{\omega}{\epsilon - \omega}, \quad \eta = \frac{\omega_c}{\epsilon} = \frac{4\pi\gamma}{Tm}, \quad f^{(0)} = 1, \quad f^{(\frac{1}{2})}(u) = 1 + \frac{u^2}{2(1+u)}$$

$$\chi^2 = |\vec{v}|^2 \gamma^4 / m^2$$

F введено выше см. (11), (23), (25).

Проинтегрировав выражение (33) по полярным углам вылета фотона получаем спектральное распределение в следующем виде

$$dI^{(0,\frac{1}{2})} = \sum_{k=1}^{\infty} F \frac{e^2 m^2 \chi^2 u du}{\pi^3 \eta^2 k^4 (1+u)^3} \left(f^{(0,\frac{1}{2})}(u) + 2\left(\frac{u}{\eta k}\right)^2 - \frac{2u}{\eta k} \right) \delta(\eta k - 2u) \quad (34)$$

Классические выражения для интенсивности получаются из (34) заменой $(1+u)^3 \rightarrow 1$, $f \rightarrow 1$

Для получения полной интенсивности излучения удобно провести сначала интегрирование по u , получаем угловое распределение излучения

$$dI^{(0,\frac{1}{2})} = \sum_{k=1}^{\infty} F \frac{e^2 m^2 \chi^2}{k^2 \pi^3} \frac{x dx}{(1+\eta kx)^3} \left(f^{(0,\frac{1}{2})}(\eta kx) - 2x + 2x^2 \right) \quad (35)$$

здесь $x = \frac{1}{2y}$; ($0 \leq x \leq 1$)

Вычислим полную интенсивность излучения в асимптотических областях $\eta \ll 1$ и $\eta \gg 1$. При $\eta \ll 1$ очевидно получаем классическое выражение для интенсивности. В случае $\eta \gg 1$ со степенной точностью имеем

$$\begin{aligned} I_A^{(0)} &= \frac{2e^2 m^2 x^2}{\pi^3 \eta^2} \sum_{k=0}^{\infty} \frac{1}{(2k+1)^4} = \frac{2e^2 m^2 x^2}{\pi^3 \eta^2} \left(\frac{\pi^4}{96} \right) = \\ &= \frac{\pi}{48} \cdot \left(em \cdot \frac{x}{\eta} \right)^2 = \frac{e^2}{4\pi} \cdot \frac{(eHT)^2}{192} \end{aligned} \quad (36)$$

Из этого выражения видно, что интенсивность излучения не зависит от массы и энергии частицы:

$$I_B^{(0)} = \frac{2e^2 m^2 x^2}{\pi^3 \eta^2} \sum_{k=0}^{\infty} \frac{3 - 4 \cos \left[\left(k + \frac{1}{2} \right) \frac{\pi}{2} \right]}{(2k+1)^4} = \frac{1}{4} I_A^{(0)} \quad (37)$$

Для спинорных частиц соответственно имеем

$$I_A^{(\frac{1}{2})} = I_A^{(0)} \left(\ln \eta - \frac{5}{6} + \frac{96}{\pi^4} \cdot L_A \right); L_A = \sum_{k=0}^{\infty} \frac{\ln(2k+1)}{(2k+1)^4} \approx 0,017$$

$$I_B^{(\frac{1}{2})} = I_B^{(0)} \left(\ln \eta - \frac{5}{6} + \frac{384}{\pi^4} \cdot L_B \right); L_B = \sum_{k=0}^{\infty} \frac{\left(3 - 4 \cos \left[\frac{\pi}{2} \left(k + \frac{1}{2} \right) \right] \right)}{(2k+1)^4} \ln(2k+1) = 0,094 \quad (38)$$

Вклад в полную интенсивность в случае скалярных частиц дает область больших по сравнению с $1/\gamma$ углов $\vartheta \sim \sqrt{\eta}/\gamma$. В случае спинорных частиц вклад в логарифм дает вся область интегрирования.

Отметим, что в области больших η излучение еще в большей степени чем в классическом случае падает на первые гармоники. При излучении фотона энергии, сравнимой с энергией электрона, представляет интерес получение вероятности излучения фотона. Для этого выражения для интенсивности необходимо умножить на величину $1/\omega = (1+u)/ue$. Тогда для вероятности излучения с частотой ω имеем

$$dW^{(0,\frac{1}{2})} = \sum_{k=1}^{\infty} F \frac{e^2 m^2 x^2 du}{\pi^3 \epsilon \eta^2 k^4 (1+u)^2} \left(f^{(0,\frac{1}{2})}(u) + 2 \left(\frac{u}{\eta k} \right)^2 - 2 \frac{u}{\eta k} \right) \delta(\eta k - 2u) \quad (39)$$

а угловое распределение имеет вид

$$dW^{(0,\frac{1}{2})} = \sum_{k=1}^{\infty} F \frac{e^2 m^2 x^2}{\pi^3 k^3 \epsilon \eta} \frac{dx}{(1+\eta k x)^2} \left(f^{(0,\frac{1}{2})}(\eta k x) - 2x + 2x^2 \right) \quad (40)$$

При $\eta \ll 1$ имеем для полной вероятности излучения

$$W_A = \sum_{k=0}^{\infty} \frac{8e^2 m^2 x^2}{5\pi^3 \epsilon \eta} \frac{1}{(2k+1)^3} = \frac{7}{3} \zeta(3) \frac{e^2 m^2 x^2}{\pi^3 \epsilon \eta} \quad (41)$$

$$W_B = \frac{8e^2 m^2 x^2}{3\pi^3 \epsilon \eta} \cdot \Lambda_1; \quad \Lambda_1 = \sum_{k=0}^{\infty} \frac{3 - 4 \cos \left[\frac{\pi}{2} (k + \frac{1}{2}) \right]}{(2k+1)^3} \approx 0,445$$

В случае $\eta \gg 1$

$$W_A^{(0)} = \frac{4e^2 m^2 x^2}{\varepsilon \pi^3 \eta^3} \cdot \sum_{k=0}^{\infty} \frac{1}{(2k+1)^5} = \frac{31}{8} \zeta(5) \frac{e^2 m^2 x^2}{\pi^3 \varepsilon \eta^3}$$

$$W_B^{(0)} = \frac{4e^2 m^2 x^2}{\varepsilon \pi^3 \eta^3} \cdot \Lambda_2; \quad \Lambda_2 = \sum_{k=0}^{\infty} \frac{3 - 4 \cos \left[\frac{\pi}{2} (k + \frac{1}{2}) \right]}{(2k+1)^5} \simeq 0,197 \quad (42)$$

Вероятность излучения для частиц со спином половина в случае $\eta \gg 1$ имеет вид

$$W_{A,B}^{(1/2)} = \frac{1}{2} W_{A,B}^{(0)} \cdot \left(\ln \eta + \frac{1}{2} + \delta_{A,B} \right)$$

Здесь

$$\delta_A = \frac{32}{31} \frac{1}{\zeta(5)} \sum_{k=0}^{\infty} \frac{\ln(2k+1)}{(2k+1)^5} \simeq 0,005 \quad (43)$$

$$\delta_B = \frac{1}{\Lambda_2} \sum_{k=0}^{\infty} \frac{3 - 4 \cos \left[\frac{\pi}{2} (k + \frac{1}{2}) \right]}{(2k+1)^5} \ln(2k+1) \simeq 0,148$$

Если в формуле (43) положить $\delta = 0$, то она с точностью до численного множителя совпадает с выражением для вероятности комтоновского рассеяния в случае, когда налетающий фотон мягкий. Это обстоятельство связано с тем, что анодулятор можно представить в виде суперпозиции стоячих волн с определенными частотами, а те в свою очередь представляют сумму "бегущих" навстречу друг другу плоских волн, причем основной вклад в процесс дает волна, волновой вектор которой направлен против скорости электрона. Мягкость квантов этой волны следует из условия $\hbar \Omega \ll \varepsilon$ (условие квазиклассичности).

Л и т е р а т у р а

1. Л.Д.Ландау, Е.М.Лифшиц. Теория поля. М.Наука, 1967.
2. В.Н Байер, В.М.Катков, В.С.Фадин. Излучение релятивистских электронов. М.Атомиздат, 1972.
3. В.Л.Гинзбург. Изв. АН СССР, сер. физ.11, 165, 1947.
4. Г.И.Будкер. Вестник АН СССР, № 1, 1972.
5. Н.А.Корхмазян, С.С.Элбакян, ДАН СССР, 203, 791, 1972.
6. В.Н.Байер, В.М.Катков. ЖЭТФ, 53, 1478, 1967.
7. В.Н.Байер, В.М.Катков. ЖЭТФ 55, 1542, 1968.
8. Д.Ф.Алферов, Ю.А.Башмаков, Е.Г.Бессонов. Препринт ФИАН, № 23, 1972.

$$\left(\frac{3}{s_A} + \frac{1}{S} + g\pi^2 \right) \cdot W_{\frac{1}{2}} = \frac{(s_A)^{3/2}}{s_A} W$$

$$W^{(s_A)} = \sum_{k=1}^{\infty} \frac{(-1)^{k+1} k!}{\pi^k k^2 \epsilon^k} \frac{(s_A)^{(k)}}{200,0} \sum_{n=0}^{\infty} \frac{(-1)^n}{n^2 (n+k+2)} \frac{2^n}{(2n)!} \frac{25}{12} = 460$$

(84)

$$\text{При } s_A < 1 \quad \text{имеем } \left[\left(\frac{1}{s} + k \right) \frac{2}{\pi} \right] \cos \theta - \sum_{n=0}^{\infty} \frac{1}{n^2} \frac{1}{s} = 3$$
$$\sum_{k=0}^{\infty} \frac{(-1)^k (k+1)^2}{5 \pi^2 \epsilon^k (2k+1)^2} = \frac{1}{5} = \frac{\pi^2}{6}$$

— для определения s_A от 0 до 1 в формуле (84) имеем в виду что коэффициенты при множителях с тремя и более степенями ϵ можно пренебречь. Тогда в выражении отображается только первое члене в ряде квадратурного интегрирования в виде квадрата суммы вида $a + b \sqrt{-1}$. Тогда коэффициент a определяется как $a = \frac{1}{2} \operatorname{Re}(a + b \sqrt{-1})$. Тогда коэффициент b определяется как $b = \operatorname{Im}(a + b \sqrt{-1})$. Тогда коэффициент a определяется как $a = \frac{1}{2} \operatorname{Re}(a + b \sqrt{-1})$. Тогда коэффициент b определяется как $b = \operatorname{Im}(a + b \sqrt{-1})$.

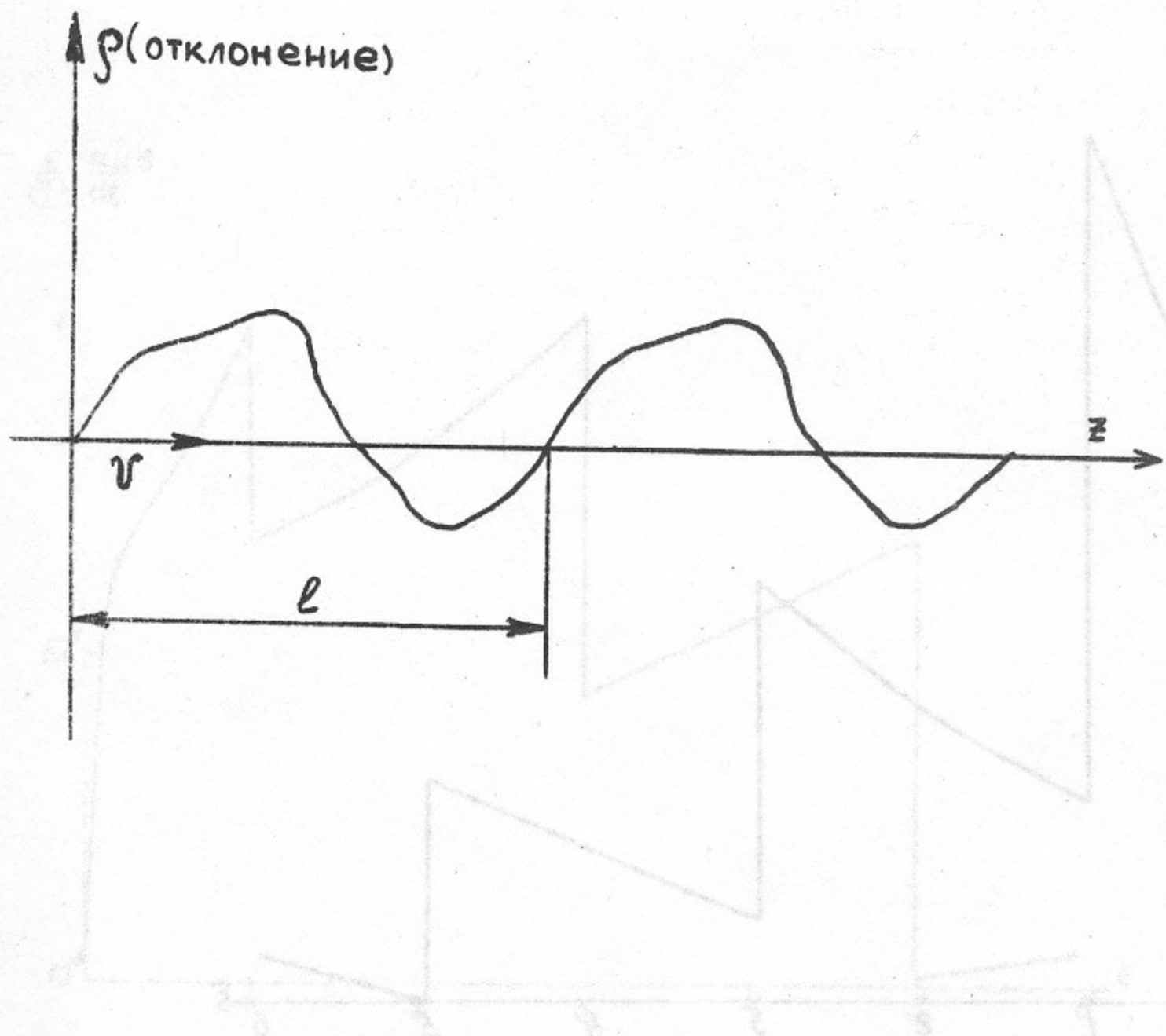


Рис. 1

$$\frac{2}{\langle I \rangle} \frac{d\langle I_\xi \rangle}{d\xi} A$$

ξ

5

1

0.5

10⁻¹

5.10⁻²

10⁻²

1

2

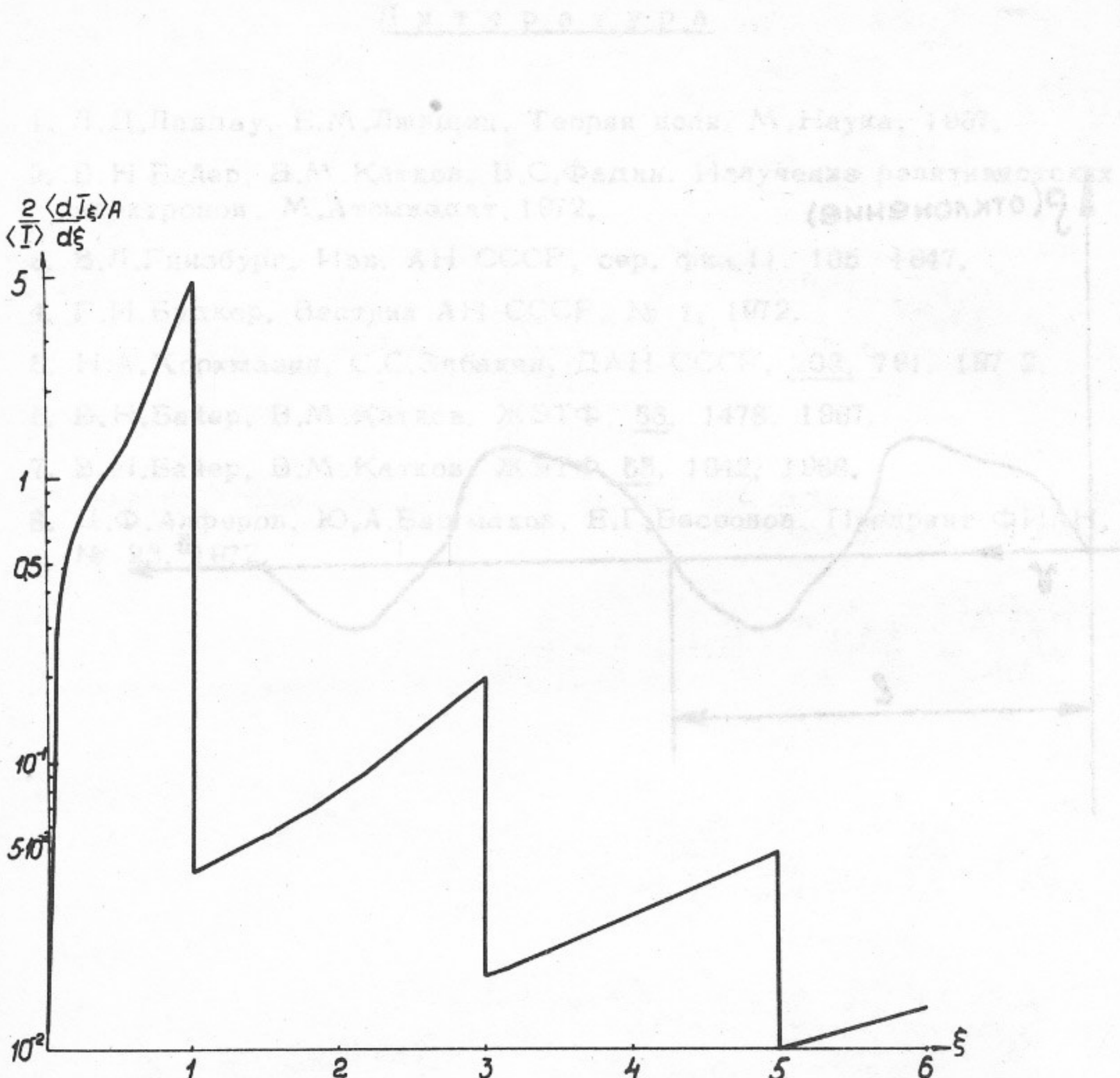
3

4

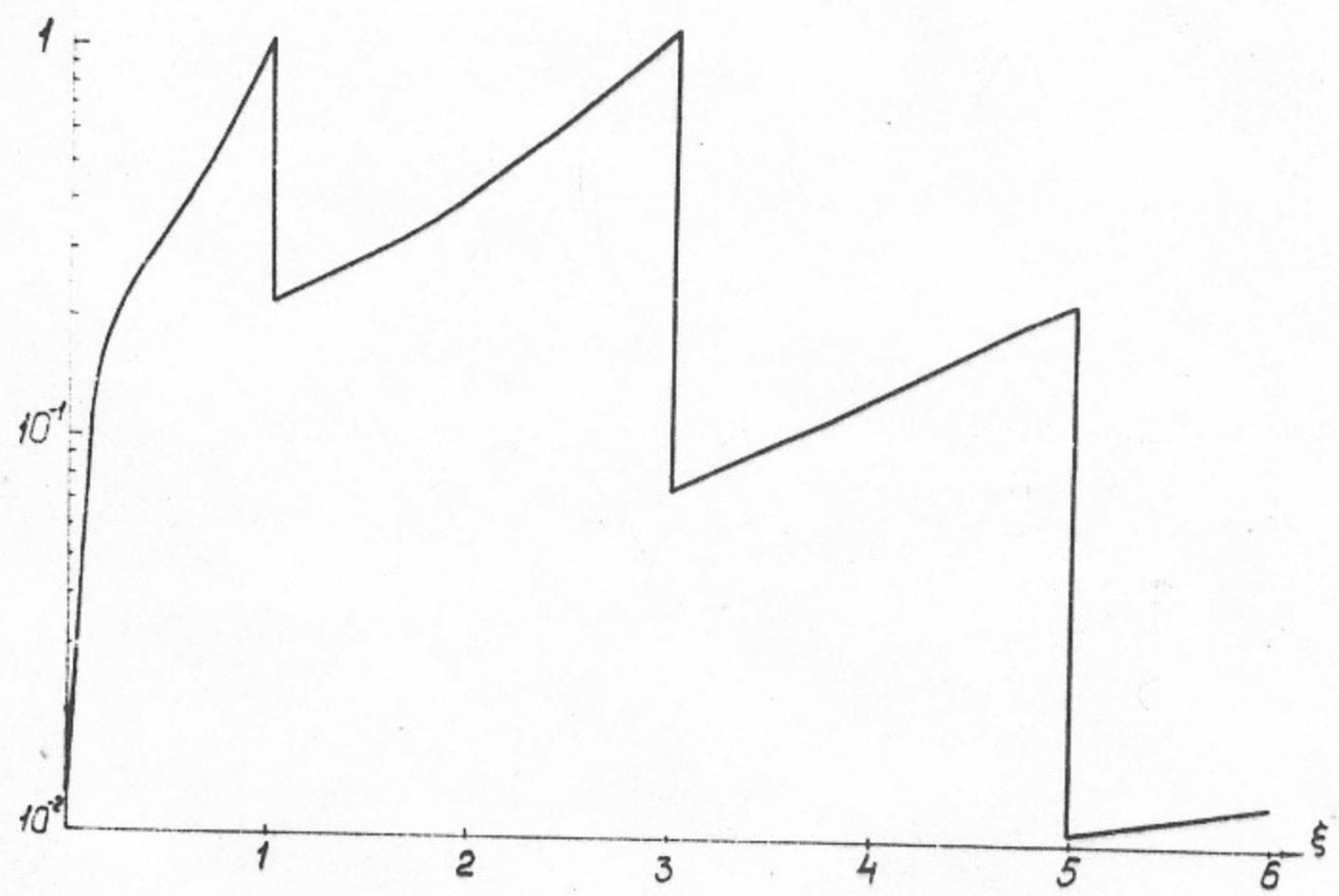
5

6

РУС 2



$$\frac{2}{\langle I \rangle} \frac{\langle dI_\xi \rangle_0}{d\xi}$$



PHC 3

Ответственный за выпуск В.М.Страховенко
Подписано к печати 7.1X.72 г. МН 10489
Усл. О,9 печ.л. тираж 250 экз. Бесплатно.
Заказ № 61. ПРЕПРИНТ

Отпечатано на ротапринте в ИЯФ СО АН СССР